

شناسایی و اندازه‌گیری مقدار کلروفیل‌های a و b در سدهای کرج، طالقان و لتیان با استفاده از روش کروماتوگرافی مایع با کارایی بالا (HPLC/UV-VIS)

پریسا روزبهنیا^۱

مریم سلیمی^۲

اسفندیار جلیلزاده^۱

(دریافت ۹۱/۷/۱۶ پذیرش ۹۲/۴/۱۰)

چکیده

در این تحقیق شناسایی و اندازه‌گیری مقدار کلروفیل‌های a و b با استفاده از روش کروماتوگرافی مایع با کارایی بالا (HPLC/UV-VIS) انجام شد. منحنی‌های کالیبراسیون برای کلروفیل‌های a و b از نوع خطی و با ضریب رگرسیون ($r > 0.999$) به دست آمد. نمونه‌برداری از سدهای کرج، طالقان و لتیان از آذرماه ۱۳۹۰ تا آذرماه ۱۳۹۱ به صورت فصلی انجام شد. میانگین مقدار کلروفیل a و b طی چهار فصل سال در سد کرج به ترتیب 5 ppb و 4 ppb ، طالقان $2/4\text{ ppb}$ و $0/028\text{ ppb}$ و لتیان 3 ppb و $0/004\text{ ppb}$ به دست آمد. بنابراین روش کروماتوگرافی مایع با کارایی بالا یک روش معتبر و مطمئن برای اندازه‌گیری نمونه‌های دارای کلروفیل در حد ppb است.

واژه‌های کلیدی: سد، کلروفیل a و b، کروماتوگرافی مایع با کارایی بالا

Detection and Determination of Chlorophylls a and b in Karaj , Taleghan and Latian Reservoirs by High Performance Liquid Chromatography (HPLC/UV-VIS)

E. Jalilzadeh¹

M. Salimi²

P. Roozbehnia³

(Received Oct. 7, 2012 Accepted July 1, 2013)

Abstract

High performance liquid chromatography (HPLC/UV-VIS) was used to detect and measure chlorophylls a and b in Karaj, Taleghan, and Latian dam reservoirs. For this purpose, samples were collected in duplicates during 2012 to 2013. The calibration graphs were found to be linear with good correlation coefficients ($r>0.999$) for chlorophylls a and b. Average values of chlorophylls a and b, respectively, were 4.5 and $0.028 \mu\text{g/l}$ at Karaj, 2.4, $0.04 \mu\text{g/l}$ at Taleghan, and 3 and 0.03 at Latian; in some case, the average values were below the detection limit (LOD). Also, HPLC was found to be valid and effective for determining chlorophylls a and b in natural water samples at levels as low as $\mu\text{g/l}$.

Keywords: Dam, Chlorophylls a,b , High Performance Liquid Chromatography (HPLC).

1. Expert of Social Medicine, Headmaster of Reference Laboratory, Tehran Water and Wastewater Co., Tehran

۱- متخصص پزشکی اجتماعی، مدیر آزمایشگاه مرجع، شرکت آب و فاضلاب استان تهران، تهران

2. MSc of Chemistry, Reference Laboratory, Tehran Water and Wastewater Co., Tehran (Corresponding Author) (+98 21) 77887039 la_info91@yahoo.com

۲- کارشناس ارشد شیمی، آزمایشگاه مرجع، شرکت آب و فاضلاب استان تهران، تهران (نویسنده مسئول) (۰۲۱) ۷۷۸۸۷۰۹۹ la_info91@yahoo.com

3.MSc of Chemistry, Reference Laboratory, Tehran Water and Wastewater Co., Tehran

۳- کارشناس ارشد شیمی، آزمایشگاه مرجع، شرکت آب و فاضلاب استان تهران، تهران

۱- مقدمه

اسپکتروفوتومتری و فلورومتری به طور معمول برای اندازه‌گیری کلروفیل a و b استفاده می‌شوند، ولی این روش‌ها از حساسیت پایین تری برخوردارند و صحت اندازه‌گیری بستگی به ماتریکس نمونه و به کارگیری معادلات تجربی برای اندازه‌گیری کلروفیل‌ها دارد [۸ و ۹]. در ایران به مطالعه شاپوری می‌توان اشاره نمود که میزان توده دهانه رود تجن را با استفاده از روش اسپکتروفوتومتری مورد بررسی قرار داده است [۴].

تاکنون مطالعات زیادی روی شمارش جلبک‌ها با استفاده از روش میکروسکوپی انجام شده است. با این وجود، زمانی که نمونه، دانسیته و تراکم بالایی از جلبک‌ها داشته باشد، این روش نیاز به متخصصان با تجربه دارد و بسیاری از پیکوپلانکتون‌ها را نمی‌توان با این روش اندازه‌گیری نمود [۱۰]. بنابراین در سال‌های اخیر روش کروماتوگرافی مایع با کارایی بالا برای اندازه‌گیری کلروفیل با صحت و دقت بالا مورد استفاده قرار گرفته است [۱۱]. آنچه که در اندازه‌گیری با مقادیر کم نقش مهمی دارد، برخورداری روش از صحت و دقت لازم است. هدف اصلی این تحقیق شناسایی و اندازه‌گیری کلروفیل‌های a و b به عنوان یک پارامتر مهم در تعیین HPLC کیفیت و طبقه‌بندی آب دریاچه‌ها با استفاده از روش به عنوان یک روش معتبر با دقت و صحت بود.

۲- مواد و روش‌ها

۱-۱- روش نمونه‌برداری

در این تحقیق میزان کلروفیل a و b در سدهای کرج، طالقان و لیان از آذرماه ۱۳۹۰ تا آذر ماه ۱۳۹۱ مورد بررسی قرار گرفت. نمونه‌برداری در چهار فصل مختلف سال و از هر سد انجام شد. به این منظور طی چهار فصل (۱۲ ماه) و هر ماه به تعداد دو نمونه از هر ایستگاه برداشته شد. کلیه نمونه‌ها در ظروف شیشه‌ای یک لیتری جمع آوری و در دمای ۴ درجه سلسیوس نگهداری شد. نمونه‌ها بلا فاصله پس از رسیدن به آزمایشگاه توسط فیلتراسیون در خلاء در فشار ۲۰ کیلو پاسکال صاف شدند. فشارهای بالاتر ممکن است باعث از بین رفتن کلروفیل شود. پیش از برداشتن نمونه، ظرف به آرامی چندین بار تکان داده شد تا ذرات معلق شود. فیلتر توسط انبرک به همراه ذرات روی آن در پتری دیش قرار داده شد و ظرف با فویل آلومینیوم پوشانده شد تا فیتوپلانکتون‌ها در برابر نور محافظت شوند. سپس فیلتر در دمای ۲۰ درجه سلسیوس و ۷۰ درجه سلسیوس قرار گرفت [۱۲].

فیتوپلانکتون‌ها، شاخص زیستی بالقوه‌ای برای کیفیت و تغییرات آب در برابر آلاینده‌های سمی، دما و تهاجم گونه‌ها به شمار می‌روند [۱]. اوتریفیکاسیون منجر به افزایش رشد گیاهان آبزی و اغلب باعث شکوفایی جلبک‌ها می‌شود [۲]. اوتریفیکاسیون می‌تواند گونه‌های اکوسیستم را تغییر دهد و گونه‌های خاص جلبک می‌تواند باعث مشکلات در طعم و بوی آب شود [۳]. تغذیه‌گرایی فرایندی طبیعی است که در پیکره آب‌های سطحی رخ می‌دهد و معمولاً به توسعه بیش از حد ارگانیسم‌هایی مانند فیتوپلانکتون‌ها و گیاهان مربوط می‌شود. فعالیت‌های بشری از قبیل دفع فاضلاب شهری، کشاورزی و صنعتی، به طور قابل ملاحظه‌ای به این فرایند شتاب می‌دهد. پیکره‌های آبی بر اساس مقدار ماده مغذی در گروه‌های الیگوتروفیک (مواد مغذی کم)^۱ مزوتروفیک (مواد مغذی متوسط)^۲ اوتروفیک (مواد مغذی زیاد)^۳ و هایپرتروفیک (مواد مغذی بسیار زیاد)^۴ طبقه‌بندی می‌شوند [۴].

مدل‌ها و شاخص‌های متعددی برای ارزیابی کیفیت آب و اوتریفیکاسیون در آبهای شیرین و آب دریا وجود دارد. کلروفیل a، جزء اصلی جلبک‌ها است و معرف مناسی برای زیست توده جلبک به شمار می‌رود، زیرا جلبک چه به صورت مستقیم (شکوفایی جلبک) و چه به صورت غیر مستقیم (کاهش/افزایش اکسیژن محلول) سبب ایجاد مشکلات مرتب با تغذیه‌گرایی می‌شود [۵].

در ایران بررسی روند اوتریفیکاسیون آبهای ایرانی دریای خزر بر اساس مدل تجربی شاخص تروفیکی مقیاسی و غیر مقیاسی توسط نصرالله زاده ساروی انجام شده است [۶]. رشد و تکثیر جلبک‌ها به واکنش‌های فتوسنتزی آنها وابسته است و تمام گیاهان فتوسنتز کنند، دارای کلروفیل a هستند ولی وجود کلروفیل‌های فرعی مثل b، c و d بستگی به نوع گیاه دارد. هر دو کلروفیل a و b نور مؤئی را در طول موج مشخصی بین ۴۰۰ تا ۷۰۰ نانومتر جذب می‌کنند [۷]. تفاوت ساختاری کلروفیل a با کلروفیل b در سومین کربن آنهاست. در کلروفیل a یک گروه متیل (CH₃) به کربن شماره سه متصل است. در حالی که در کلروفیل b یک گروه آلدیدی (O=HC) به این کربن چسبیده است. روش‌های مختلفی برای اندازه‌گیری کلروفیل‌های a و b وجود دارد که از آن جمله می‌توان به روش‌های اسپکتروفوتومتری، فلورومتری، میکروسکوپی و کروماتوگرافی مایع با کارایی بالا^۵ اشاره کرد.

¹Oligotrophic

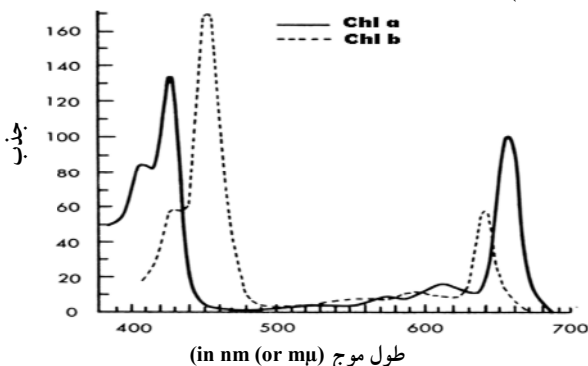
²Mesotrophic

³Eutrophic

⁴Hypertrophic

⁵High Performance Liquid Chromatography (HPLC)

فاز متحرک شامل Eluent A: متانول/آمونیوم استات به نسبت ۲۰:۸۰، Eluent B: آب به نسبت ۱۰:۹۰ و Eluent C: اتیل استات ۱۰۰ درصد و با سرعت جریان ۱ میلی لیتر در لیتر ظرف مدت ۲۵ دقیقه شناسایی و اندازه گیری انجام شد (جدول ۱).

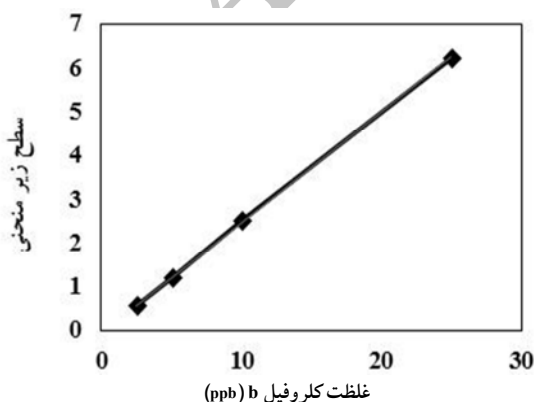


شکل ۱- طیف اسپکتروفوتومتر استاندارهای کلروفیل a و b

جدول ۱- برنامه گرادیانت فاز متحرک

%C	%B	%A	زمان (دقیقه)
۰	۰	۱۰۰	۰
۰	۱۰۰	۰	۲
۱۰	۹۰	۰	۲/۶
۳۵	۶۵	۰	۱۳/۶
۶۹	۳۱	۰	۲۰
۰	۱۰۰	۰	۲۲
۰	۰	۱۰۰	۲۵
۰	۰	۱۰۰	۳۰

برای رسم منحنی کالیبراسیون ابتدا غلظتها در محدوده (۰-۲۵ ppb) به ترتیب برای کلروفیل های a و b تهیه شد و نمودار کالیبراسیون از مساحت کروماتوگرام در مقابل غلظت استاندارد رسم شد (شکل ۲). در رسم نمودارها از



شکل ۲- منحنی های کالیبراسیون کلروفیل a و b

۲-۲- مواد شیمیایی و معرف ها
استانداردهای کلروفیل a و b برای ساخت محلول های استاندارد از شرکت سیگما-آلدریچ^۱ آلمان و حلال های مورد استفاده شامل آب، استونیتریل، متانول، اتیل استات و نمک آمونیوم استات با درجه خلوص ۹۹٪ درصد از نوع HPLC grade از شرکت مرک آلمان خریداری شد.

۲-۳- دستگاه ها
نمونه ها توسط یک سیستم کروماتوگرافی مایع با کارایی بالا مدل آجیلت^۲، مجهز به اتوسیمپلر، ستون C18 به ابعاد (250mm×4.6mm) و دتکتور UV-VIS در طول موج ۴۴۰ نانومتر شناسایی و اندازه گیری شدند.

۳- روش آنالیز
برای استخراج نمونه طبق روش استاندارد، فیلتر های حاوی نمونه از فریزر خارج، و با ۱۰ میلی لیتر استون ۹۰ درصد به وسیله دستگاه گریندر مکانیکی خرد شد. محلول شیرابه ای حاصل به مدت حداقل دو ساعت و حداقل ۲۴ ساعت خیسانده شد و در لوله سانتریفیوژ در پیچ دار به مدت ۵ دقیقه سانتریفیوژ شده و در نهایت ۱ میلی لیتر از سطح محلول توسط فیلتر ۰/۴۵ میکرومتر به داخل ویال تیره رنگ اتوسیمپلر صاف شد [۱۲].

استانداردهای کلروفیل a و b را نشان می دهد [۱۳].

اسپکتروفوتومتر با استفاده از معادلات تری کروماتیک جفری-هامفورز^۳ تأیید شدند. شکل ۱ طیف اسپکتروفوتومتر مربوط به استانداردهای کلروفیل a و b را نشان می دهد [۱۳].

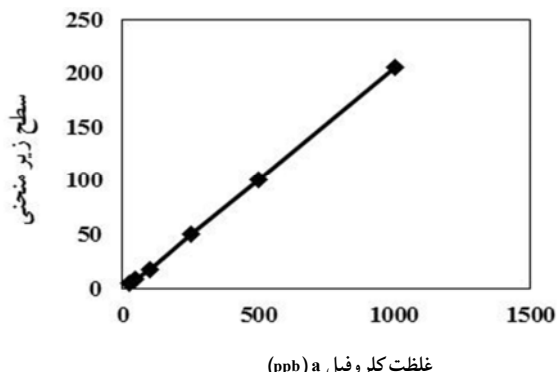
رقتهای مورد نظر برای رسم منحنی های کالیبراسیون از محلول های استاندارد استوک تهیه شد و مطابق با برنامه گرادیانت

¹ Sigma -Aldrich

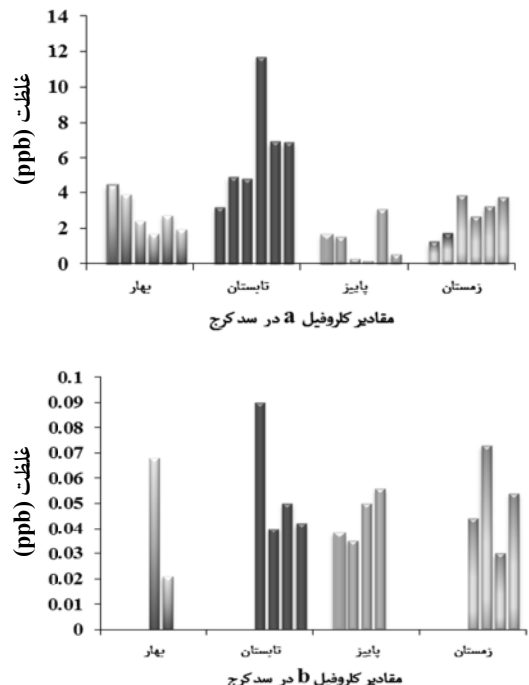
² Merck

³ Agilent

Jeffrey and Humphrey's Trichromatic Equations



غلظت کلروفیل a در فصل تابستان و کمترین آن در فصل پاییز است و بیشترین مقدار آن در فصل تابستان مشاهده شد. در اغلب موارد نیز هیچ غلظت قابل اندازه گیری در مورد کلروفیل b مشاهده نشد.



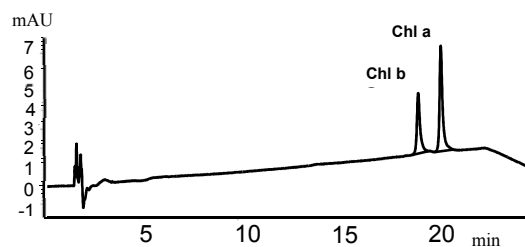
شکل ۵- غلظت کلروفیل a و b در سد کرج

شکل ۶ غلظت کلروفیل a و b را در سد طالقان از آذر ماه ۱۳۹۰ تا آذر ماه ۱۳۹۱ نشان می دهد. میانگین غلظت کلروفیل a در فصل بهار، تابستان، پاییز و زمستان به ترتیب $2/9$ ppb، $2/12$ ppb، $1/11$ ppb و $2/7$ ppb بود. همچنین حداکثر مقدار کلروفیل a در فصل تابستان $2/6$ ppb و کمترین مقدار آن در فصل پاییز $0/5$ ppb بود. میانگین غلظت کلروفیل a در یک سال اندازه گیری $2/4$ ppb بود. تغییرات چندانی در غلظت کلروفیل a در فصل زمستان و بهار مشاهده نشد. میانگین غلظت کلروفیل b در طی یک سال اندازه گیری $0/4$ ppb بود و بیشترین مقدار آن در فصل تابستان دیده شد.

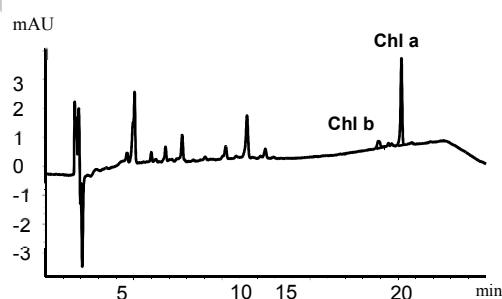
در شکل ۷ غلظت کلروفیل a و b در دریاچه سد لیان از آذر ماه ۱۳۹۰ تا آذر ماه ۱۳۹۱ مورد بررسی قرار گرفته است. همانطور که مشاهده می شود، بالاترین غلظت کلروفیل a در فصل تابستان و کمترین آن در فصل پاییز مشاهده شد. میانگین غلظت کلروفیل a در فصل بهار، تابستان، پاییز و زمستان به ترتیب $2/88$ ppb، $1/2$ ppb، $0/51$ ppb و $2/7$ ppb بود. غلظت کلروفیل b در طی یک سال بررسی $0/3$ ppb بود و حداکثر مقدار آن در فصل تابستان مشاهده شد.

روش کمترین مربعات و نرم افزار اکسل ۲۰۰۷ استفاده شد و معادلات خط رگرسیون منحنی ها، $y = 0.2522x - 0.0626$ و $y = 0.2067x - 1.7797$ ($r^2 > 0.999$) با ضریب تعیین ($r^2 = 0.999$) به دست آمد.

شکل ۳ کروماتوگرام استانداردهای کلروفیل a و b را نشان می دهد که زمان بازداری کلروفیل a، $20/42$ دقیقه و کلروفیل b $19/26$ دقیقه است. همانطور که در شکل ۴ مشاهده می شود در نمونه سد کرج، زمان بازداری کلروفیل a، $20/30$ دقیقه و کلروفیل b، $19/20$ دقیقه است.



شکل ۳- کروماتوگرام استانداردهای کلروفیل a و b



شکل ۴- کروماتوگرام نمونه سد کرج

۴- نتایج و بحث

نتایج حاصل از اندازه گیری کلروفیل های a و b در سدهای کرج، طالقان و لیان در فصلهای مختلف مورد ارزیابی قرار گرفت. در شکل ۵ غلظت کلروفیل a و b در سد کرج از آذر ماه ۱۳۹۰ تا آذر ماه ۱۳۹۱ مورد بررسی قرار گرفته است. میانگین غلظت کلروفیل a در فصل بهار، تابستان، پاییز و زمستان به ترتیب $2/8$ ppb، $1/2$ ppb، $0/4$ ppb و $2/7$ ppb بود. روند تغییرات غلظت کلروفیل a در فصل زمستان و بهار تقریباً ثابت بود. میانگین غلظت کلروفیل b در طی یک سال اندازه گیری، $0/0$ ppb بود. بالاترین

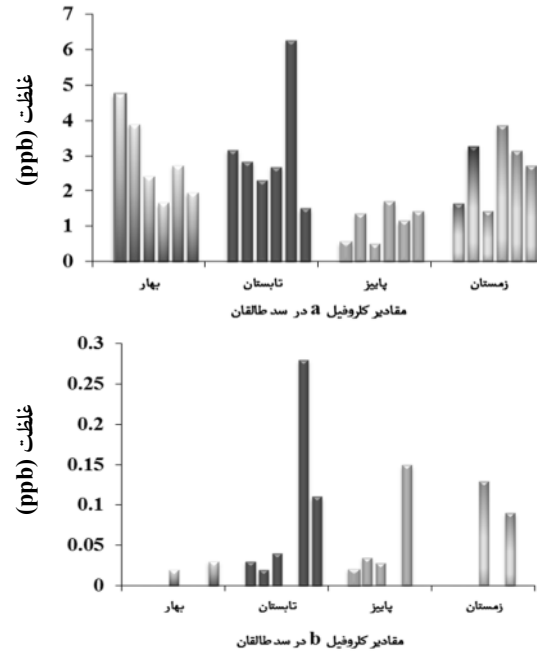
کلروفیل a به عنوان یک ماده رنگی مهم فتوسنتز در جلبک‌ها و سایر گیاهان مطرح است و به عنوان یکی از متغیرهای مهم در زمان تخمین ظرفیت فتوسنتز یک اکوسیستم مطرح می‌شود. بنابراین اندازه‌گیری کلروفیل a به عنوان یک شاخص مهم می‌تواند در ارزیابی کیفیت آب دریاچه‌ها و مشکلات ناشی از اوتوفیکاسیون مورد استفاده قرار گیرد.

از طرفی بین دمای سطح آب و غلظت کلروفیل همبستگی وجود داشته و دمای سطح آب به عنوان یکی از عوامل مهم در نحوه توزیع مکانی زمانی غلظت کلروفیل a محسوب می‌شود [۱۴]. طبق نتایج بدست آمده از بررسی سری زمانی غلظت کلروفیل a در سدهای کرج، طالقان و لتيان مشخص شد که تغییرات افزایشی غلظت کلروفیل a و دما معنی‌دار بوده است. به طوری که با افزایش یا کاهش دما در فصلهای گرم و سرد سال، میزان غلظت کلروفیل a نیز رفتار افزایشی یا کاهشی را نشان داده است.

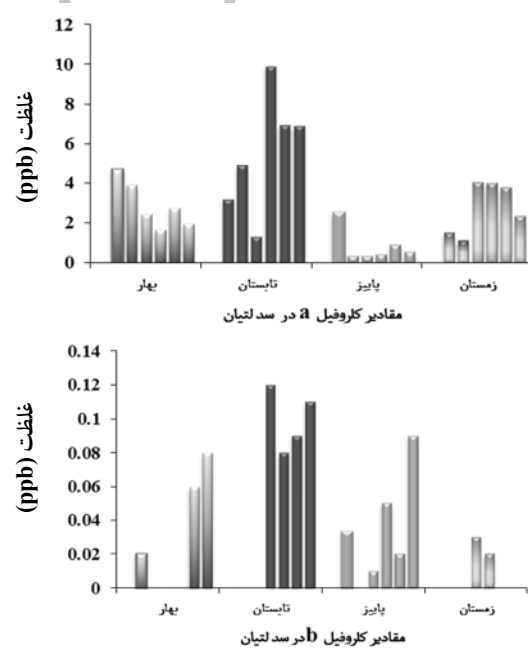
با در نظر گرفتن شاخص OECD که بر پایه غلظت کلروفیل a طراحی شده است، در صورت موجود بودن میانگین کلروفیل a، حالت تغذیه‌ای برای مقادیر کلروفیل a $1 < \text{Chla1} < 2/5$ اولیگوتروفیک، $2/5 < \text{Chla1} < 8$ مزوتروپیک، $8 < \text{Chla1} < 25$ ، $25 < \text{Chla1} < 15$ یوتروپیک است [۱۵].

۵- نتیجه‌گیری

شناسایی و اندازه‌گیری کلروفیل a با استفاده از روش‌های مختلف نظری اسپکتروفوتومتری، فلورومتری و کروماتوگرافی مایع با کارایی بالا امکان پذیر است. هدف از این مطالعه اندازه‌گیری مقادیر کلروفیل a و b با روش کروماتوگرافی مایع با کارایی بالا بود. همچنین وضعیت سدهای کرج، طالقان و لتيان از نظر تغذیه گرایی با استفاده از شاخص OECD مورد ارزیابی قرار گرفت. نتایج بدست آمده در سدهای مورد مطالعه نشان می‌دهد که وضعیت تغذیه‌ای این سدها در فصلهای بهار و تابستان به حالت مزوتروپیک و در فصلهای پاییز و زمستان حالت الیگوتروپیک است.



شکل ۶- غلظت کلروفیل a و b در سد طالقان، آذر ماه ۱۳۹۰ تا آذر ۱۳۹۱



شکل ۷- غلظت کلروفیل a و b در سد لیجان، آذر ماه ۱۳۹۰ تا آذر ۱۳۹۱

۶- مراجع

1. Rolland, A., Bertrand, F., Maumy, M., and Jacquet, S. (2009). "Assessing phytoplankton structure and spatiotemporal dynamic in freshwater ecosystem using powerful multiway statistical analysis." *J. Water Res.*, 43 (13), 3155-3168.

2. Monnavary, M., Noori, J., and Sohrabnia, N. (2012). "Phytoplankton assembly effect in Karaj reservoir water quality." *J. Water and Wastewater*, 86, 19-30. (In Persian)
3. Pasztaleniec, A., and Poinewozik, M. (2009). "Phytoplankton based assessment of the ecological status of four shallow lakes (eastern poland) according to water framework directive comparison of approach." *Limnologica*, 40, 251-259.
4. Shapoori, M., and Javanshir, A. (2006). "The study of chlorophyll a and biomass in mouth of Tajan river." *J. of Marine Biology*, 1 (3), 78-88. (In Persian)
5. WQRRSR. (2009). *Guidelines for water quality studies of large dam reservoirs*, No.313-a
6. Nasrollahzadeh Saravi, H., and Makhloogh, A. (2012). "Eutrophication trend of the Caspian sea water based on absolute trophic scaled (TRIXCS) and unscaled (UNTRIX)." *J. of Environmental Sciences*, 9, 49-60.
7. Sinclair, A. (2009). "Photodetection system for the measurement of chlorophyll concentration in water." EE 533 Photodetection & Photodetectors.
8. Jeffrey, S.W., and Humphrey, G.F. (1975). "New spectrophotometric equations for determining chlorophylls *a*, *b*, *c₁* and *c₂* in higher plants, algae and natural phytoplankton." *Biochem. Physiol. Pflanzen*, 167, 191-194.
9. Lorenzen, C.J., and Jeffrey, S.W. (1980). *Determination of chlorophyll in seawater: Report of intercalibration test UNESCO*, Technical Papers in Marine Science 35 .
10. Chisholm, S.W., Olson, R.J., Zettler, E.R., Goericke, R., Waterbury, J.B., and Welschmeyer, J.B. (1988). "A novel free-living prochlorophyte abundant in the oceanic euphotic zone." *Nature*, 334, 340-343.
11. Mantoura, R.F.C., and Llewellyn, C.A. (1983). "The rapid determination of algal chlorophyll and carotenoid pigments and their breakdown products in natural waters by reverse-phase high-performance liquid chromatography." *Anal. Chim. Acta*, 151, 297-314.
12. EPA. (1997). *In vitro determination of chlorophylls a and b and identification of other pigments of interest in marine and freshwater algae using high performance liquid chromatography with visible wavelength detection*, version 1, USA.
13. EPA. Methods 446, (1997). *Determination of chlorophylls a and b ,c₁+c₂ and pheopigments in marine and freshwater algae by visible spectrophotometer*, Revision 1.2, USA.
14. Harding, L. W., Meesoon, W., and Fisher, T. R. (1986). "Phytoplankton production in two east coast estuaries: Photosynthesis-light functions and pattern of carbon assimilation in Chesapeake and Delaware Bays." *Estuarine Coastal and Shelf Science*, 23, 773-806.
15. Shahrban, M., and Shahidi, A. (2008). "Determination of water quality of the Caspian sea sauther coasts based on OECD method and traphic index (TRIX)." *J. of Environmental Science and Tech.*, 11 (3), 193-204.